

Невзаимные оптические эффекты в движущихся периодических решетках поглощения и усиления

О.Е.Наний, Д.Д.Щербаткин

Теоретически исследованы фазовые и амплитудные невзаимные эффекты, возникающие при прохождении встречных световых волн через участки движущихся периодических решеток поглощения или усиления. Получены аналитические выражения для амплитудной и фазовой невзаимности. Показано, что максимальная фазовая невзаимность соответствует падению световых волн на движущуюся решетку под углом Брэгга.

Ключевые слова: решетки поглощения и усиления, амплитудная невзаимность, фазовая невзаимность.

Продолжающиеся на протяжении последних лет активные исследования невзаимных оптических эффектов обусловлены возможностью их практического использования для управления параметрами кольцевых лазеров, а также необходимостью установления их природы с целью выявления и устранения возможных источников погрешностей в лазерных гироскопах [1]. В работах [2–7] наряду с нашедшими практическое применение невзаимными устройствами на основе эффекта Фарадея исследовались предсказанные в [8] невзаимные эффекты, связанные с движущимися решетками показателя преломления, сопровождающими бегущие акустические волны, – невзаимные акустооптические эффекты. Результаты, полученные в этих работах, позволяют предположить наличие невзаимных эффектов в движущихся периодических решетках любой природы.

В настоящей работе впервые исследуются невзаимные эффекты в движущихся периодических решетках поглощения или усиления. Рассмотрим дифракцию световых волн на движущейся периодической решетке амплитудных неоднородностей с волновым вектором, направленным вдоль оси z . Коэффициент поглощения в такой решетке описывается выражением

$$\gamma(z) = a + \frac{b}{2} \sin(\Omega t - Kz), \quad (1)$$

где a – средний коэффициент поглощения (отрицательные коэффициенты поглощения соответствуют усилию); b – глубина модуляции периодической решетки; K – постоянная распространения; $\Omega = KV$; V – скорость распространения решетки.

В приближении плоских (неограниченных вдоль оси z) световых волн изменение амплитуд падающей и дифрагированной световых волн описывается уравнениями связанных волн. Уравнения связанных волн в случае дифракции на периодических решетках поглощения или

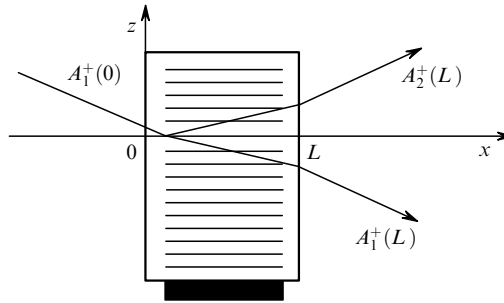


Рис.1. Схема взаимодействия световых волн при их дифракции на движущейся периодической решетке.

усиления для геометрии взаимодействия, показанной на рис.1, имеют вид [9]

$$\frac{dA_1^+}{dx} = \zeta_{12} A_2^+ \exp(i\Delta\alpha^+ x) - a A_1^+, \quad (2)$$

$$\frac{dA_2^+}{dx} = \zeta_{21} A_1^+ \exp(-i\Delta\alpha^+ x) - a A_2^+, \quad (3)$$

где $A_{1,2}^+$ – амплитуды соответственно падающей и дифрагированной световых волн, распространяющихся в положительном направлении, в качестве которого нами выбрано направление слева направо; $\Delta\alpha^+ = \alpha_1^{x+} - \alpha_2^{x+}$ – расстройка между проекциями волновых векторов падающей и дифрагированной волн; α_1^{x+} и α_2^{x+} – проекции на ось x констант распространения α_1^+ , α_2^+ падающей и дифрагированной волн. Коэффициенты связи ζ_{12} и ζ_{21} определяют эффективность дифракции и при взаимодействии с решетками поглощения или усиления в общем случае являются комплексно-сопряженными ($\zeta_{12} = \zeta_{21}^*$).

Введем действительный коэффициент, характеризующий эффективность дифракции, $\zeta = (\zeta_{12}\zeta_{21}^*)^{1/2} = |\zeta_{12}|$. Выбором начальных фаз и положения оси x можно добиться выполнения равенства $\zeta_{12} = \zeta_{21} \equiv \zeta$. В этом случае решение системы (2), (3) при граничном условии $A_2^+(0) = 0$ и длине среды L (см. рис.1) имеет вид

$$\frac{A_1^+(x)}{A_1^+(0)} = \exp \left[\left(i \frac{\Delta\alpha^+}{2} - a \right) x \right] \left\{ \cosh \left[\zeta^2 L^2 - \left(\frac{\Delta\alpha^+ x}{2} \right)^2 \right]^{1/2} - \right.$$

Московский государственный университет им. М.В.Ломоносова, физический факультет, Россия, 119899 Москва, Воробьевы горы

Поступила в редакцию 21 января 2000 г., после доработки – 12 февраля 2001 г.

$$\begin{aligned} & -i \frac{\Delta\alpha^+ x}{2} \left[\zeta^2 L^2 - \left(\frac{\Delta\alpha^+ x}{2} \right)^2 \right]^{-1/2} \\ & \times \sinh \left[\zeta^2 L^2 - \left(\frac{\Delta\alpha^+ x}{2} \right)^2 \right]^{1/2} \}, \\ \frac{A_2^+(x)}{A_1^+(0)} = & \exp \left(-i \frac{\Delta\alpha^+ x}{2} - ax \right) \zeta \sinh \left[\zeta^2 L^2 \right. \\ & \left. - \left(\frac{\Delta\alpha^+ x}{2} \right)^2 \right]^{1/2} \left[\zeta^2 L^2 - \left(\frac{\Delta\alpha^+ x}{2} \right)^2 \right]^{-1/2} \end{aligned}$$

для $\Delta\alpha^+ x/2 \leq \zeta L$ и

$$\begin{aligned} \frac{A_1^+(x)}{A_1^+(0)} = & \exp \left[\left(i \frac{\Delta\alpha^+}{2} - a \right) x \right] \left\{ \cos \left[\left(\frac{\Delta\alpha^+ x}{2} \right)^2 - \zeta^2 L^2 \right]^{1/2} \right. \\ & \left. - i \frac{\Delta\alpha^+ x}{2} \left[\left(\frac{\Delta\alpha^+ x}{2} \right)^2 - \zeta^2 L^2 \right]^{-1/2} \right. \\ & \left. \times \sin \left[\left(\frac{\Delta\alpha^+ x}{2} \right)^2 - \zeta^2 L^2 \right]^{1/2} \right\}, \\ \frac{A_2^+(x)}{A_1^+(0)} = & \exp \left(-i \frac{\Delta\alpha^+ x}{2} - ax \right) \zeta \\ & \times \sin \left[\left(\frac{\Delta\alpha^+ x}{2} \right)^2 - \zeta^2 L^2 \right]^{1/2} \left[\left(\frac{\Delta\alpha^+ x}{2} \right)^2 - \zeta^2 L^2 \right]^{-1/2} \end{aligned}$$

для $\Delta\alpha^+ x/2 \geq \zeta L$.

Выражение для комплексной амплитуды прошедшей волны имеет вид

$$A_1^+(L) = \exp[i\Phi^+(L)]|A_1^+(L)|,$$

где

$$\begin{aligned} \frac{|A_1^+(L)|}{A_1^+(0)} = & \exp(-aL) \left\{ \cosh^2 \left[\zeta^2 L^2 - \left(\frac{\Delta\alpha^+ L}{2} \right)^2 \right]^{1/2} \right. \\ & + \left(\frac{\Delta\alpha^+ L}{2} \right)^2 \left[\zeta^2 L^2 - \left(\frac{\Delta\alpha^+ L}{2} \right)^2 \right]^{-1/2} \\ & \left. \times \sinh^2 \left[\zeta^2 L^2 - \left(\frac{\Delta\alpha^+ L}{2} \right)^2 \right]^{1/2} \right\}^{1/2}, \quad (4) \end{aligned}$$

$$\begin{aligned} \Phi^+(x) = & \frac{\Delta\alpha^+ L}{2} - \arctan \left\{ \frac{\Delta\alpha^+ L}{2} \left[\zeta^2 L^2 - \left(\frac{\Delta\alpha^+ L}{2} \right)^2 \right]^{-1/2} \right\} \\ & \times \tanh \left[\zeta^2 L^2 - \left(\frac{\Delta\alpha^+ L}{2} \right)^2 \right]^{1/2} \quad (5) \end{aligned}$$

для $\Delta\alpha^+ L/2 \leq \zeta L$ и

$$\begin{aligned} \frac{|A_1^+(L)|}{A_1^+(0)} = & \exp(-aL) \left\{ 1 - \zeta^2 L^2 \left[\left(\frac{\Delta\alpha^+ L}{2} \right)^2 - \zeta^2 L^2 \right]^{-1/2} \right. \\ & \left. \times \sin^2 \left[\left(\frac{\Delta\alpha^+ L}{2} \right)^2 - \zeta^2 L^2 \right]^{1/2} \right\}^{1/2}, \quad (6) \end{aligned}$$

$$\begin{aligned} \Phi^+(x) = & \frac{\Delta\alpha^+ L}{2} - \arctan \left\{ \frac{\Delta\alpha^+ L}{2} \left[\left(\frac{\Delta\alpha^+ L}{2} \right)^2 - \zeta^2 L^2 \right]^{-1/2} \right\} \\ & \times \tan \left[\left(\frac{\Delta\alpha^+ L}{2} \right)^2 - \zeta^2 L^2 \right]^{1/2} \quad (7) \end{aligned}$$

для $\Delta\alpha^+ L/2 \geq \zeta L$.

Зависимости отношения модуля амплитуды прошедшей волны к амплитуде падающей волны $|A_1^+(L)|/A_1^+(0)$ и набега фазы прошедшей волны $\Phi^+(L)$ от нормированной расстройки $\Delta\alpha^+ L/2$, построенные по формулам (4)–(7), приведены на рис.2.

Прохождение световой волны во встречном направлении (справа налево) через область взаимодействия с периодической решеткой описывается уравнениями для амплитуд $A_{1,2}^-$, совпадающими по виду с уравнениями (2), (3) при изменении направления оси x на противоположное и переносе начала координат на правую границу области взаимодействия. При этом расстройки между проекциями волновых векторов падающих и дифрагировавших световых волн встречных направлений на соответствующие им оси x в общем случае различны: $\Delta\alpha^+ \neq \Delta\alpha^-$. Действительно, хотя $\alpha_1^- = \alpha_1^+$, волновые векторы дифрагировавших волн не равны друг другу ($\alpha_2^- \neq \alpha_2^+$), т.к. не совпадают частоты волн, дифрагировавших во встречных направлениях. Именно неравенство рассогласований проекций волновых векторов падающих и дифрагировавших во встречных направлениях волн и является причиной возникновения невзаимных эффектов при взаимодействии света с движущимися периодическими решетками произвольного вида.

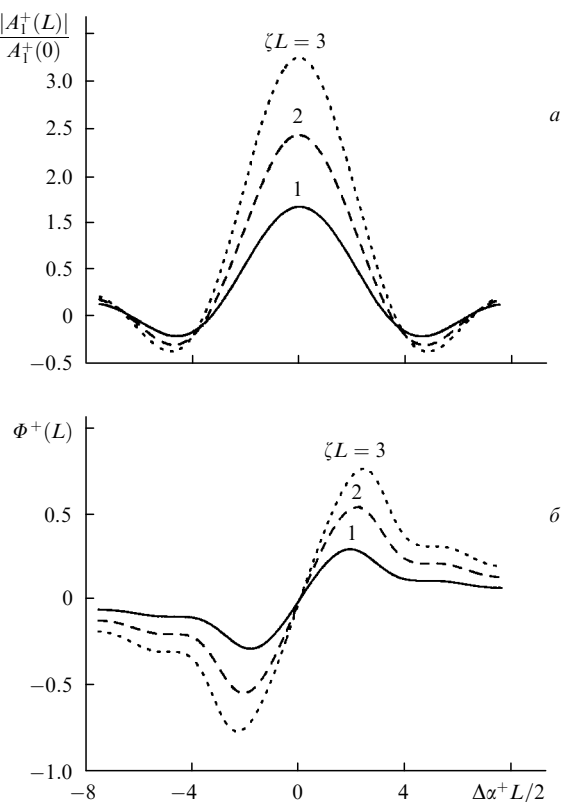


Рис.2. Зависимости отношения модуля амплитуды прошедшей волны к амплитуде падающей волны $|A_1^+(L)|/A_1^+(0)$ (а) и набега фазы прошедшей волны $\Phi^+(L)$ (б) от нормированной расстройки $\Delta\alpha^+ L/2$ при $\alpha = 0$ и разных ζL .

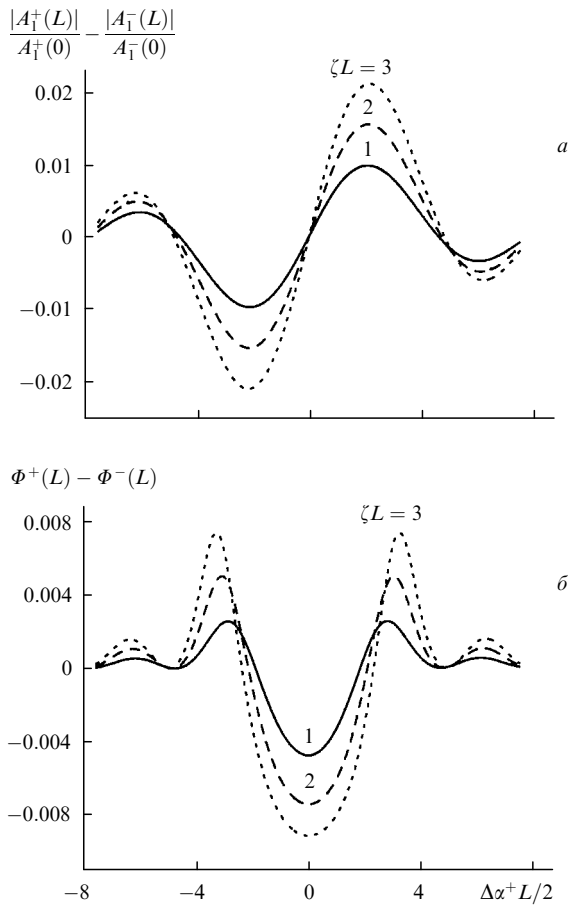


Рис.3. Зависимости нормированных амплитудной ($|A_1^+(L)|/A_1^+(0) - |A_1^-(L)|/A_1^-(0)$) (а) и фазовой ($\Phi^+(L) - \Phi^-(L)$) (б) невзаимностей от нормированной расстройки $\Delta\alpha^+L/2$ при $\alpha = 0$ и разных ζL .

Разность рассогласований волновых векторов для встречных волн пропорциональна скорости движения решетки:

$$|\Delta\alpha^+ - \Delta\alpha^-| \simeq \frac{2\Omega n_2}{c} = \frac{4\pi(Vn_2)}{\Lambda c} = 2Kn_2 \frac{V}{c},$$

где Λ – период решетки; n_2 – показатель преломления среды [7]. Зависимости нормированных амплитудной ($|A_1^+(L)|/A_1^+(0) - |A_1^-(L)|/A_1^-(0)$) и фазовой ($\Phi^+(L) - \Phi^-(L)$) невзаимностей от нормированной расстройки приведены на рис.3 для разных скоростей движения дифракционной решетки. Как видно из рис.3, б, максимальная фазовая невзаимность соответствует нулевой расстройке (волновой синхронизм) между проекциями волновых векторов падающей и дифрагированной волн, которая имеет место при падении световой волны под углом Брэгга.

Принципиальная схема возможной экспериментальной реализации предложенного способа создания амплитудно-частотной невзаимности показана на рис.4. Два

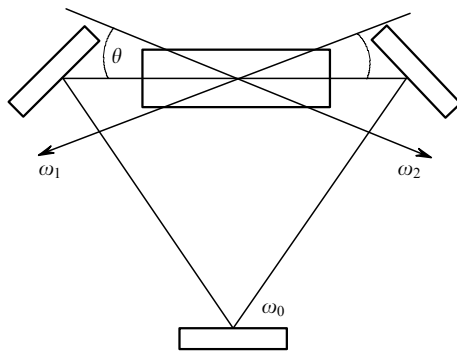


Рис.4. Принципиальная схема возможной экспериментальной реализации предложенного способа создания амплитудно-частотной невзаимности.

световых пучка с несколько различающимися частотами ω_1 и ω_2 ($\omega_1 - \omega_2 \ll \omega_1 + \omega_2$) падают на усиливающую (поглощающую) среду кольцевого лазера под углами $\pm\theta$ к оптической оси. В отсутствие этих волн собственная частота генерации кольцевого лазера равна ω_0 . Частоты ω_1 и ω_2 лежат в полосе усиления (поглощения) соответствующего элемента кольцевого лазера. Интерференция этих световых пучков создает периодическую решетку интенсивности, которая движется вдоль оптической оси в направлении, совпадающем с проекцией направления распространения светового пучка большей частоты. Движущаяся периодическая решетка интенсивности создает в активной среде движущуюся периодическую решетку усиления.

Таким образом, движущиеся решетки поглощения или усиления могут быть использованы для создания фазовых или амплитудных невзаимных элементов. Перспективность этого метода связана с возможностью создания подобных решеток при интерференции встречных волн слегка отличающихся частот в резонансно поглощающих или усиливающих средах.

Работа частично финансировалась Министерством науки и технологий Российской Федерации по направлению «Лазерная физика» (проект № 1.58).

1. Кравцов Н.В., Кравцов Н.Н. *Квантовая электроника*, **27**, 98 (1999).
2. Корниенко Л.С., Кравцов Н.В., Наний О.Е., Шелаев А.Н. *Квантовая электроника*, **8**, 1347 (1981).
3. Голяев Ю.Д., Задерновский А.А., Ливинцев А.Л. *Квантовая электроника*, **14**, 917 (1987).
4. Roy R., Schulz P.A., Walther A. *Optics Letts*, **12**, 672 (1987).
5. Веселовская Т.В., Ключан Е.Л., Ларионцев Е.Г., Парфенов С.В., Шелаев А.Н. *Квантовая электроника*, **17**, 823 (1990).
6. Clarkson W.A., Hanna D.C. *Optics Comms*, **81**, 375 (1991).
7. Наний О.Е. *Квантовая электроника*, **23**, 172 (1996).
8. Зильберман Г.Е., Купченко Л.Ф. *Радиотехника и электроника*, **20**, 2347 (1975).
9. Ярив А., Юх П. *Оптические волны в кристаллах* (М., Мир, 1987).